



**Управление поляризацией протонов и  
дейтронов в коллайдере NICA  
(ОИЯИ, НТЛ «Заряд», МФТИ)**

**Докладчик: Филатов Ю.Н.**

**25 июня, 2018, Дубна**

# Outline

1. Spin transparency mode in the NICA collider
2. Placement of the snake solenoids in the NICA collider
3. Polarization control scheme by means of weak solenoids
4. Summary

# Spin Motion at Conventional Circular Accelerator

$$\frac{d\vec{S}}{d\theta} = [\vec{W} \times \vec{S}],$$

**Thomas-BMT equation**

$\theta$  – particle's azimuth

**The spin equilibrium closed orbit**

$\vec{n}(\theta + 2\pi) = \vec{n}(\theta)$  – periodical axis of precession

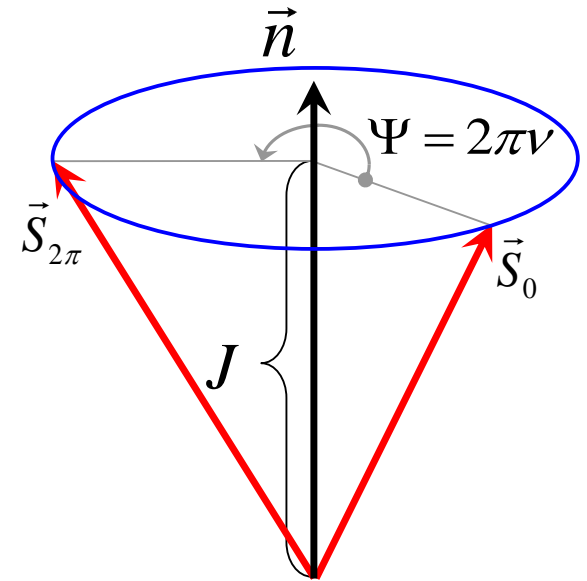
$$\vec{S} = J \cdot \vec{n} + \vec{S}_\perp, \quad J = \vec{S} \cdot \vec{n}, \quad \vec{S}_\perp \perp \vec{n}$$

Spin vector rotate around  $n$ -axis:

$$\text{If } \vec{S}_0 \parallel \vec{n} \Rightarrow \vec{S}_{2\pi} = \vec{S}_0$$

$$\text{If } \vec{S}_0 \perp \vec{n} \Rightarrow \vec{S}_{2\pi} \perp \vec{n}, \quad \angle(\vec{S}_0, \vec{S}_{2\pi}) = \Psi = 2\pi\nu$$

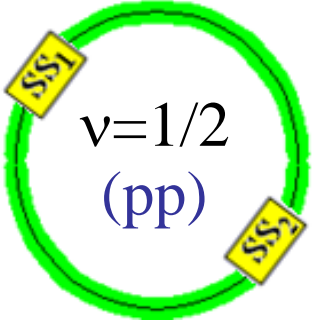
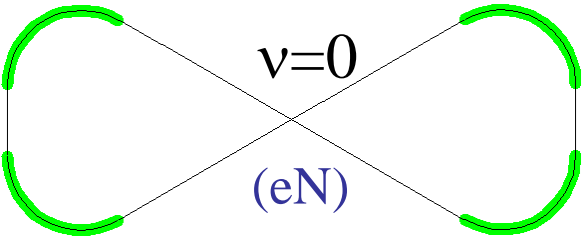
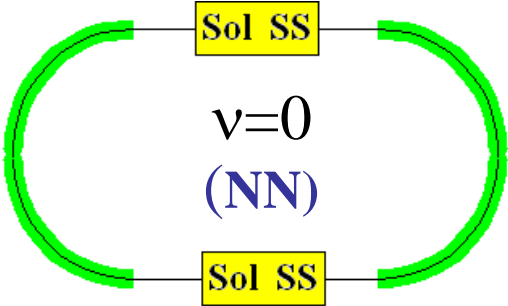
$\nu$  – spin precession tune



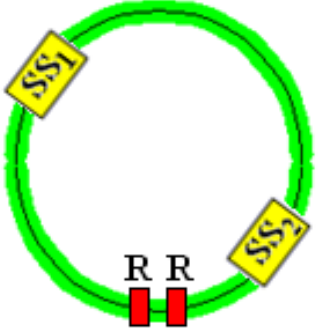
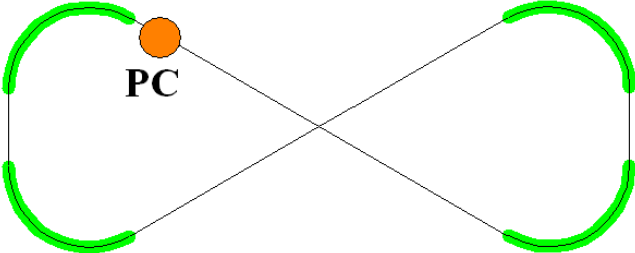
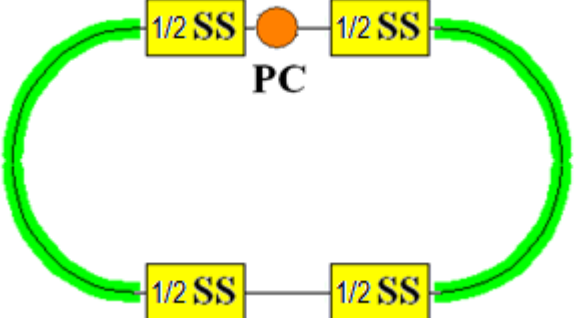
**In ideal accelerator**  $\vec{n} = \vec{e}_z$ ,  $\nu = \gamma G$   $G = (g - 2)/2$  – gyromagnetic anomaly

In colliders “*with preferred spin direction*”, the periodic spin motion along the closed orbit is unique, i.e. the static magnetic lattice determines a single stable orientation of the beam polarization. The fractional part of *the spin tune differs from zero*.

In colliders “*transparent to the spin*”, any spin direction repeats every particle turn along the closed orbit, i.e. the accelerator’s magnetic lattice is transparent to the spin. The fractional part of *the spin tune is equal to zero*.

Схема коллайдера	Поляризация
<p><b>RHIC</b> (BNL) 25÷250 GeV/c</p> 	<p><b>Выделено единственное устойчивое направление</b></p>
<p><b>JLEIC</b> (JLAB) 25÷100 GeV/c</p> 	<p><b>Возможно любое направление</b></p>
<p><b>NICA</b> (JINR) 2.5÷13.5 GeV/c</p> 	<p><b>Возможно любое направление</b></p>

# Управление поляризацией пучков в коллайдерах

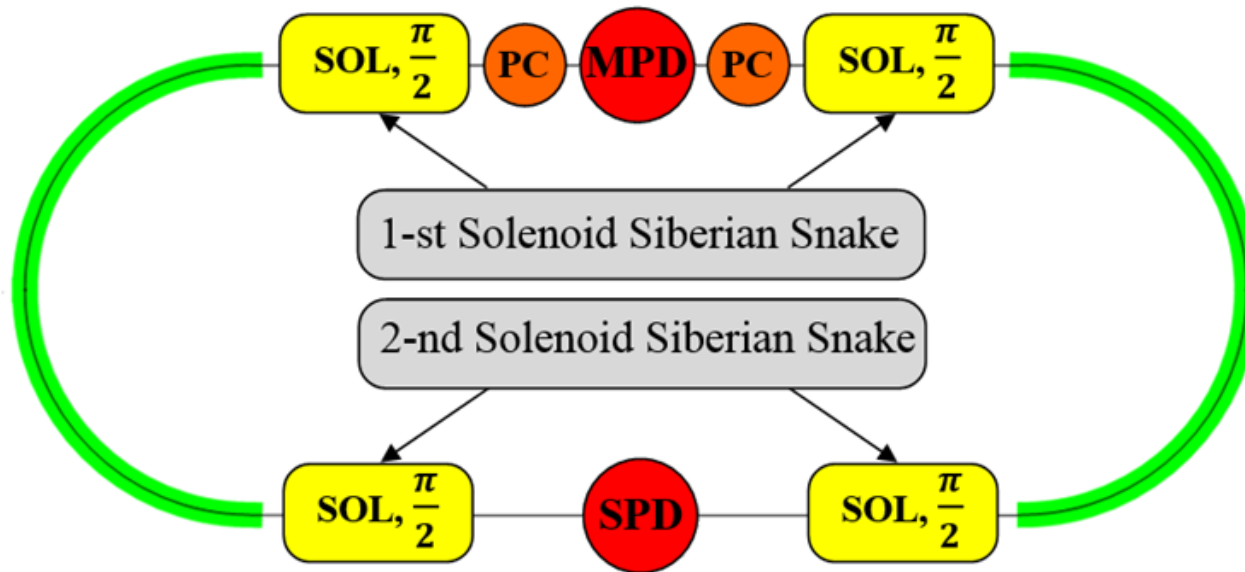
Схема коллайдера	Элементы управления	Орбитальные характеристики
<p>RHIC <math>\nu=1/2</math></p> 	<p>Ротаторы с сильными полями (R)</p>	<p>Изменяются при управлении</p>
<p>MEIC <math>\nu=0</math></p> 	<p>Соленоиды со слабыми полями (PC)</p>	<p>Не изменяются при управлении</p>
<p>NICA <math>\nu=0</math></p> 	<p>Соленоиды со слабыми полями (PC)</p>	<p>Не изменяются при управлении</p>

# Ion Polarization Control

Collider	Spin Rotators based on	Polarization Direction at IP	Spin Flipping	
			Reversal Time	Orbital Parameters
<b>RHIC</b> ( <i>BNL</i> )	<b>‘strong’</b> magnetic fields	Transversal Longitudinal ( <b>w/o deuterons</b> )	Few <b>min</b>	Change
<b>JLEIC</b> ( <i>JLAB</i> )	<b>‘weak’</b> solenoids	Any directions ( <b>any particles:</b> <i>p, d, He<sup>3</sup>, ...</i> )	from <b>ms</b> up to <b>sec</b>	Do not change
<b>NICA</b> ( <i>JINR</i> )	<b>‘weak’</b> solenoids	Any directions ( <b>any particles:</b> <i>p, d, He<sup>3</sup>, ...</i> )	from <b>ms</b> up to <b>sec</b>	Do not change

**Spin Flipping System** allows one to make spin reversal during an experiment (high precision experiments with polarized ions).

# Spin Transparency Mode in NICA Collider



**SOL,  $\frac{\pi}{2}$**

Solenoids for spin transparency mode:

$BL = 1 \div 25 \text{ T}\cdot\text{m}$  (*protons*),  $BL = 3 \div 80 \text{ T}\cdot\text{m}$  (*deuterons*)

**Orbital parameters do not depend on the beam energy**

**PC**

Polarization control insertion based on “weak” solenoids with maximum field integral  $BL < 0.6 \text{ T}\cdot\text{m}$  (*protons, deuterons*)

**Polarization direction** (*p, d,  $^3\text{He}$ , ...*) :

in **SPD** or **MPD** — any direction in vertical plane ( $z$ - $y$ );

in **arcs** — any direction in orbit plane ( $z$ - $x$ ).

# Ion polarization control in NICA collider by means of “small” solenoids

Polarization control system in the NICA complex makes it possible:

- to provide polarization control of different particles ( $p$ ,  $d$ ,  ${}^3\text{He}$ , ...);
- to provide any direction of polarization in the vertical plane SPD and MPD detectors;
- to solve the problems of spin matching at injection in the NICA collider and polarization measurement as well;
- to eliminate resonance depolarization during acceleration;
- to realize Spin Flipping System;
- to control polarization in SPD and MPD detectors without any change of beam orbital characteristics.



# Zero-Integer Spin Resonance & Spin Stability Criterion

The total **zero-integer spin resonance** strength

$$\omega = \omega_{coh} + \omega_{emitt}, \quad \omega_{emitt} \ll \omega_{coh}$$

is composed of

- coherent part  $\omega_{coh}$  due to closed orbit excursions
- incoherent part  $\omega_{emitt}$  due to transverse and longitudinal emittances

## Spin stability criterion

the spin tune induced by the PC solenoids must significantly exceed the strength of the zero-integer spin resonance

$$\nu \gg \omega_{emitt}$$

- for proton beam  $\nu = 10^{-2}$
- for deuteron beam  $\nu = 10^{-4}$

# Coherent and incoherent parts of zero-integer resonance strength

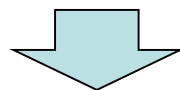
**Protons:**  $\omega_{coh} \sim 10^{-3} \div 10^{-2}$ ,  $\omega_{emitt} \sim 10^{-4} \div 10^{-3}$

Total PC solenoids field integral about of **1 T·m** is sufficient for stabilization and control of proton polarization in NICA collider.

---

**Deuterons:**  $\omega_{coh} \sim 10^{-6} \div 10^{-5}$ ,  $\omega_{emitt} \sim 10^{-7} \div 10^{-6}$

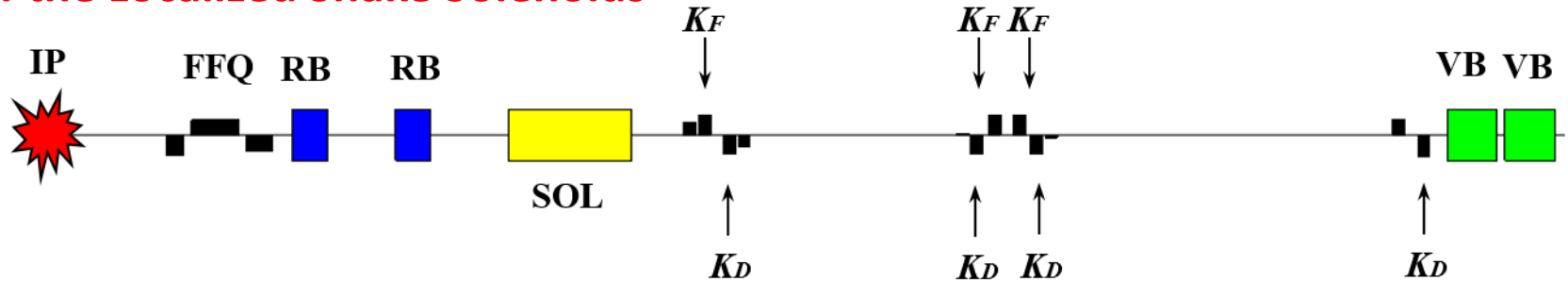
Total PC solenoids field integral about of **0.03 T·m** is sufficient for stabilization and control of deuteron polarization in NICA collider.



It allows one to carry out ultra-high precision experiments with polarized deuteron beams

# Placement of the Snake Solenoids

## Case of the Localized Snake Solenoids

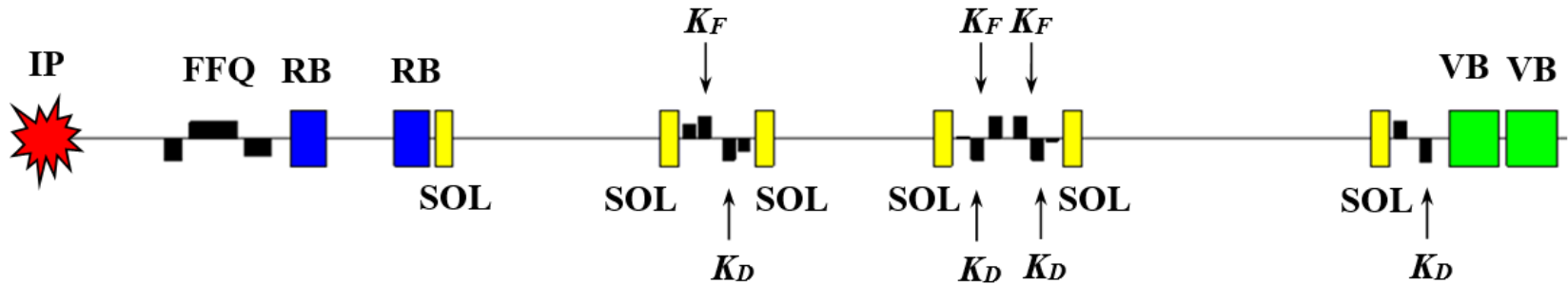


SOL – 6T Solenoid of 4.2 m (One Siberian Snake = 2×SOL)

VB – arc's Vertical-field Bending magnets, RB – Radial-field Bending magnets

FFQ – Final Focus Quadrupoles,  $K_F$ ,  $K_D$  – quadrupoles gradients

## Case of the Distributed Snake Solenoids



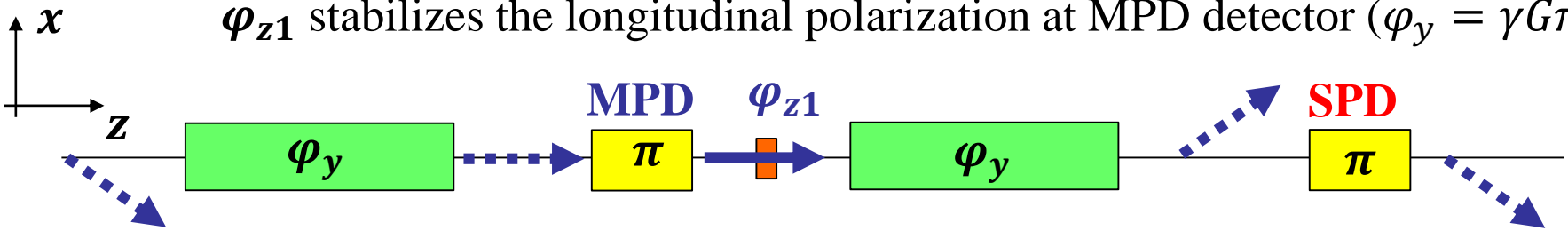
SOL – 6T Solenoid of 0.7 m (One Siberian Snake = 12×SOL)

$\delta K_F$ ,  $\delta K_D$  – deviation of the quadrupoles gradients for snake matching

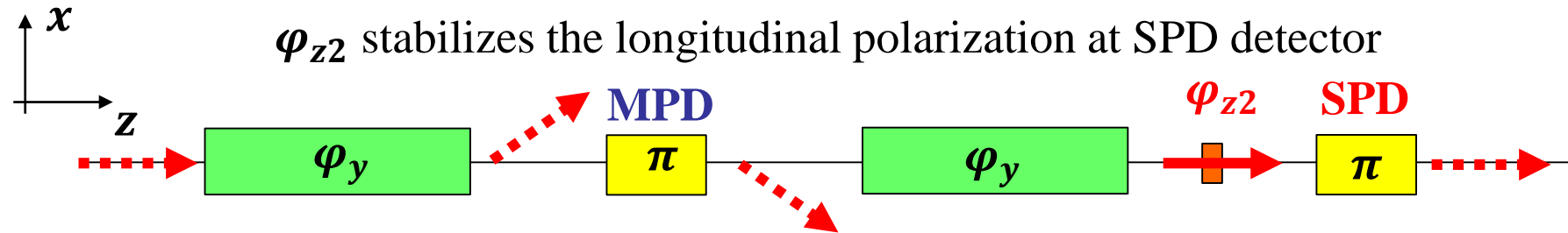
$$K_F = K_{F0} + \delta K_F, \quad K_D = K_{D0} + \delta K_D, \quad K_{F0} = 0.519 \text{ m}^{-2}, \quad K_{D0} = 0.504 \text{ m}^{-2}$$

# Ion polarization control in NICA collider by means of “weak” solenoids at MPD and SPD detectors

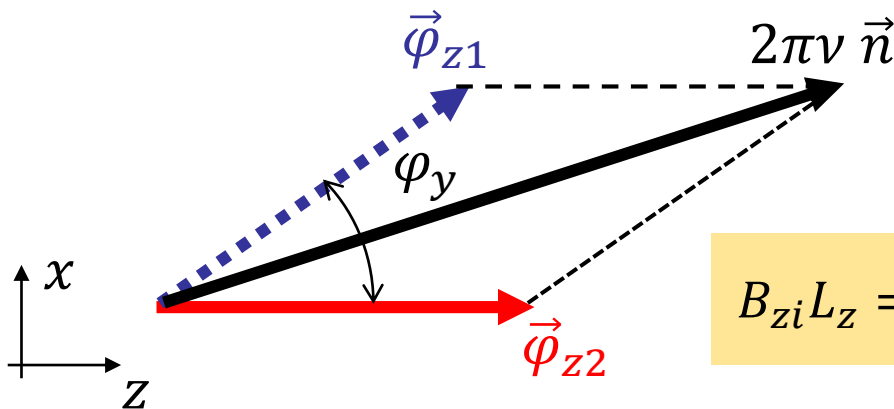
$\varphi_{z1}$  stabilizes the longitudinal polarization at MPD detector ( $\varphi_y = \gamma G \pi$ )



$\varphi_{z2}$  stabilizes the longitudinal polarization at SPD detector



Vector diagram for calculation of control solenoid field integrals



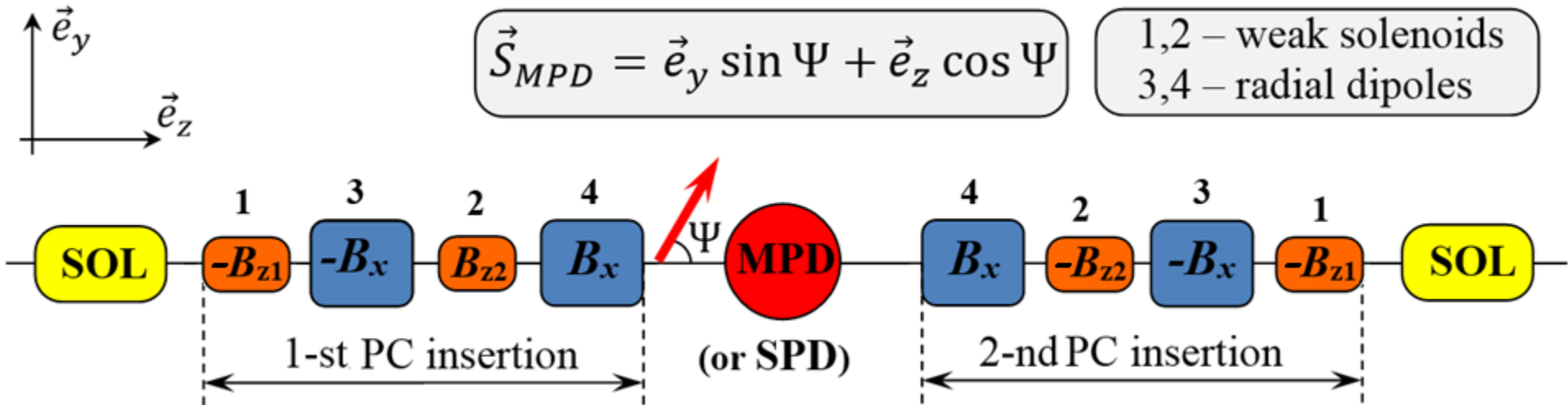
$$\varphi_{z2} = 2\pi\nu \left( n_z - \frac{n_x}{\tan \varphi_y} \right)$$

$$\delta\varphi_{z1} = 2\pi\nu \frac{n_x}{\sin \varphi_y}$$

$$B_{zi} L_z = \frac{\varphi_{zi}}{1 + G} B \rho$$

$$\varphi_y = \gamma_{max} G \alpha_{orb} < \pi$$

# Ion polarization control in NICA collider by means of “weak” solenoids



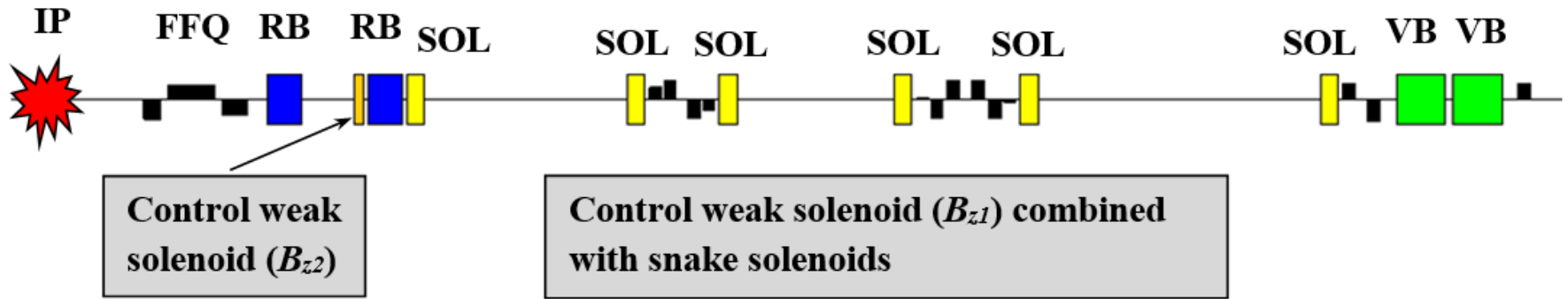
## Longitudinal polarization

$$\Psi = 0^\circ \quad \Psi = 180^\circ$$

## Vertical polarization

$$\Psi = -90^\circ \quad \Psi = 90^\circ$$

# Schematic layout of the half experimental straight section

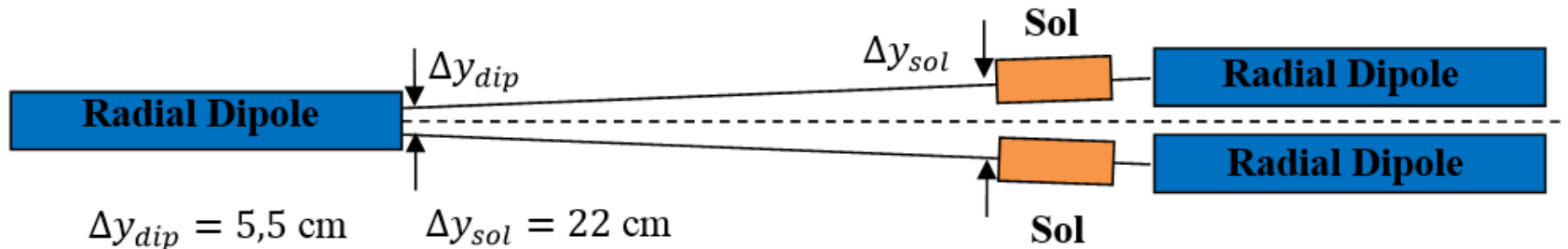
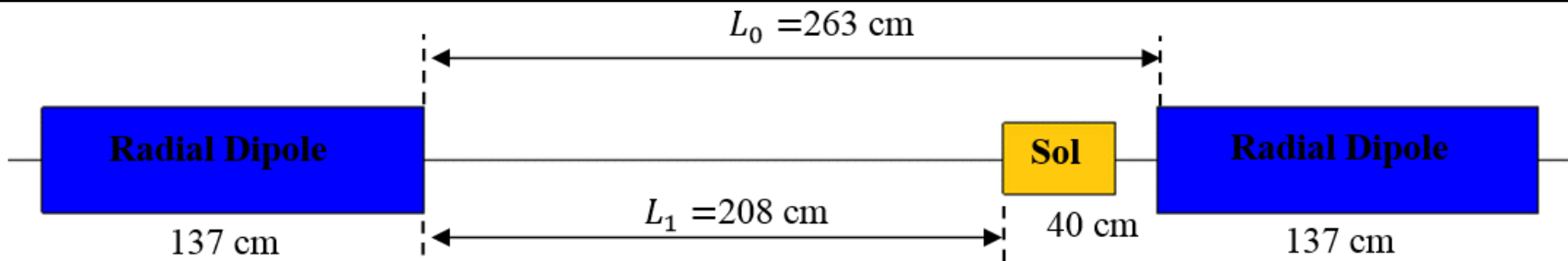


SOL – 6T Solenoid of 0.7 m (One Siberian Snake = 12×SOL)

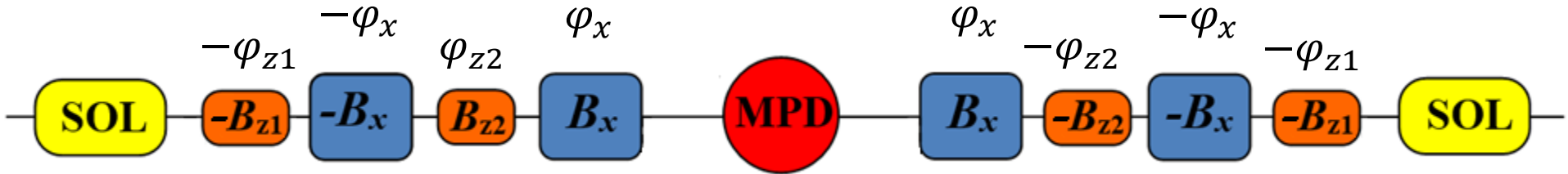
VB – arc's Vertical-field Bending magnets,

RB – Radial-field Bending magnets , FFQ – Final Focus Quadrupoles

$p$  up to 13.5 GeV/c  
 $d$  up to 4.12 GeV/c



# Ion polarization control in NICA collider by means of “weak” solenoids



**Polarization at MPD** lies in the **vertical detector’s plane** ( $v \ll 1$ ):  $\vec{S}_{MPD} = (0, n_y, n_z)$

$$\varphi_{z1} = n_z \pi v, \quad \varphi_{z2} = n_y \frac{\pi v}{\sin \varphi_x}, \quad \varphi_{zi} = \frac{(1 + G) B_{zi} L_z}{B \rho}, \quad \varphi_x = \frac{\gamma G B_x L_x}{B \rho}.$$

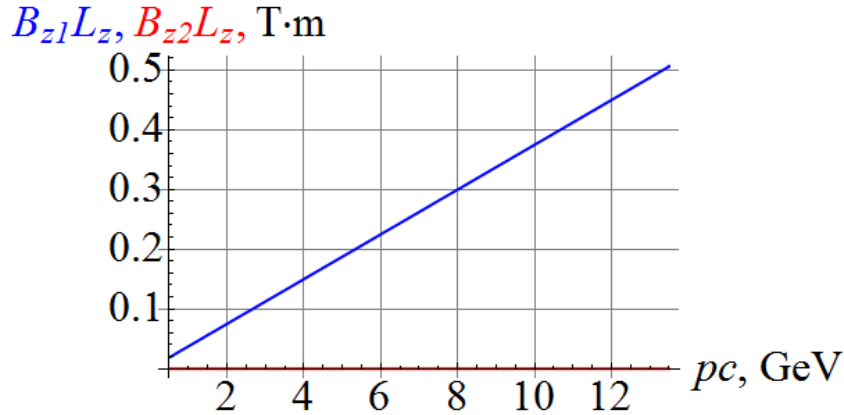
**Polarization at SPD** also lies in the **vertical detector’s plane** and depends on spin angle in the arc  $\gamma G \pi$  and signs of the shake’s angles :

Snake Angle Sign		Angles between polarization and velocity direction: $\Psi_{SPD}$ and $\Psi_{MPD}$
MPD	SPD	
+	+	$\Psi_{SPD} = \gamma G \pi - \Psi_{MPD}$
-	-	$\Psi_{SPD} = -\gamma G \pi - \Psi_{MPD}$
+	-	$\Psi_{SPD} = -\gamma G \pi + \Psi_{MPD}$
-	+	$\Psi_{SPD} = \gamma G \pi + \Psi_{MPD}$

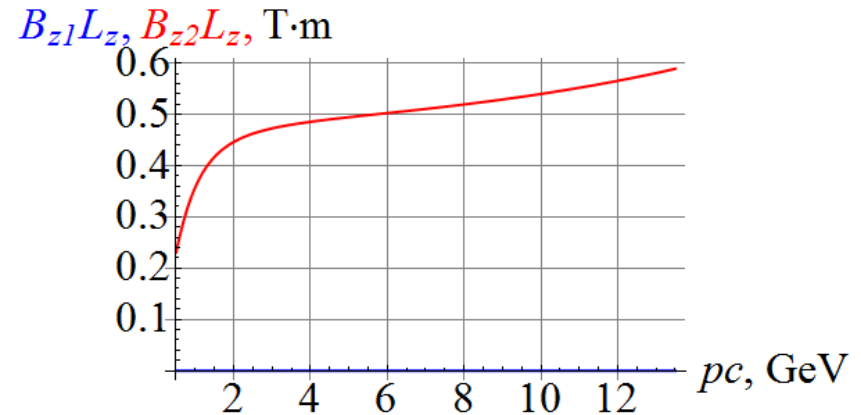
# Control solenoid field integrals vs momentum (protons)

Longitudinal ( $n_z = 1$ ) and vertical ( $n_y = 1$ ) polarization **at MPD detector**

Protons:  $v=10^{-2}$ ,  $n_z=1$

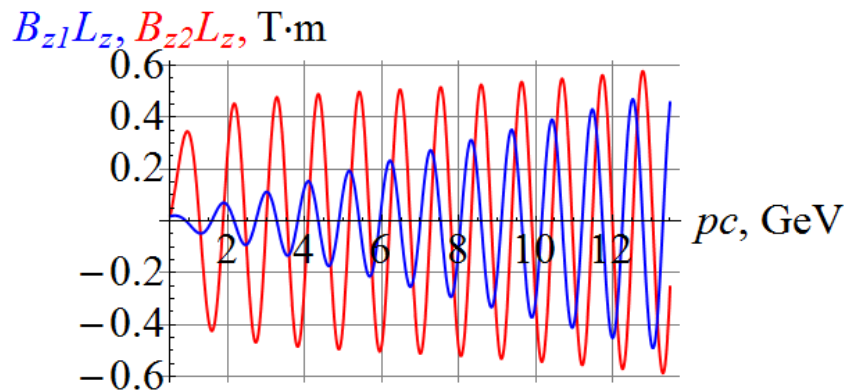


Protons:  $v=10^{-2}$ ,  $n_y=1$

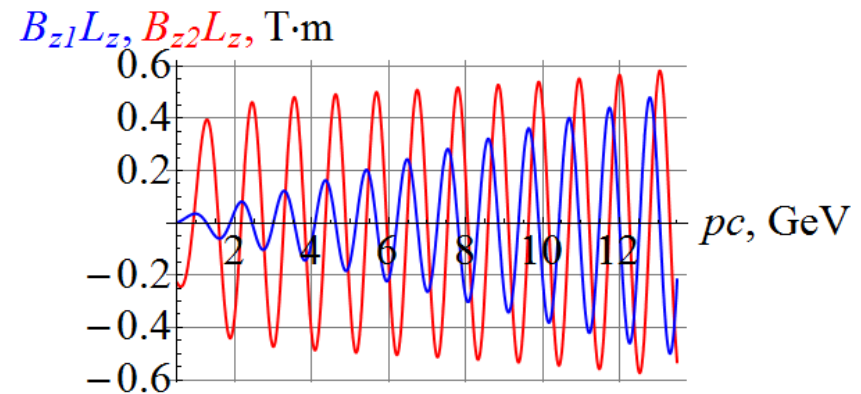


Longitudinal ( $n_z = 1$ ) and vertical ( $n_y = 1$ ) polarization **at SPD detector**

Protons:  $v=10^{-2}$ ,  $n_z=1$



Protons:  $v=10^{-2}$ ,  $n_y=1$





# Control of the **deuteron** polarization by the snake solenoids

Let us introduce **small deviations**  $\delta\varphi_{SPD}, \delta\varphi_{MPD}$  of the snakes' spin rotation angles

$$\varphi_{SPD} = \pi - \delta\varphi_{SPD}, \quad \varphi_{MPD} = \pi - \delta\varphi_{MPD},$$

**Polarization at MPD** lies in the **vertical detector's plane** ( $\nu \ll 1$ ):  $\vec{S}_{MPD} = (0, n_y, n_z)$

$$\delta\varphi_{MPD} = 2\pi\nu \left( n_z - \frac{n_y}{\tan \gamma G\pi} \right), \quad \delta\varphi_{SPD} = 2\pi\nu \frac{n_y}{\sin \gamma G\pi}$$

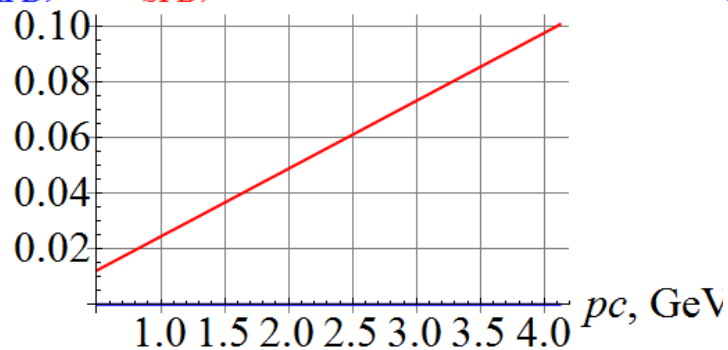
**Polarization at SPD** also lies in the **vertical detector's plane**

$$\delta\varphi_{MPD} = 2\pi\nu \frac{n_y}{\sin \gamma G\pi}, \quad \delta\varphi_{SPD} = 2\pi\nu \left( n_z - \frac{n_y}{\tan \gamma G\pi} \right),$$

**Longitudinal** ( $n_z = 1$ ) and **vertical** ( $n_y = 1$ ) polarization **at SPD detector**

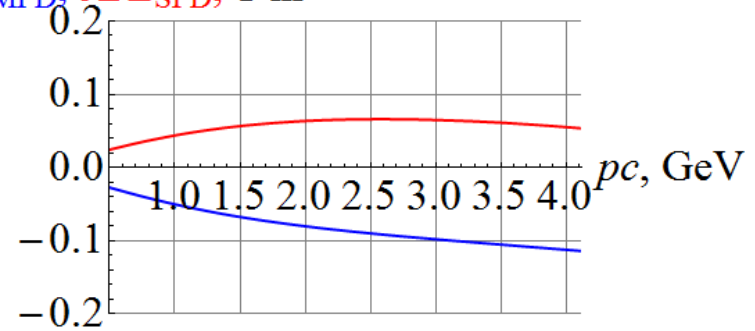
Deuterons:  $\nu=10^{-3}, n_z=1$

$\delta BL_{MPD}, \delta BL_{SPD}, \text{T}\cdot\text{m}$



Deuterons:  $\nu=10^{-3}, n_y=1$

$\delta BL_{MPD}, \delta BL_{SPD}, \text{T}\cdot\text{m}$



# Parameters of solenoids



2×(PC SOL): 1.5 T, 0.4m

24× (SNAKE'S SOL): 6 T, 0.7m



Solenoids	$B_{\max}$ , T	$L_{\text{sol}}$ , m	Aperture, cm	Field ramp	Total number of solenoids per ring
Snake	6	0,7	10	Few T/min	2 section ×12
Control	1,5	0,4	10	Few T/s	2

# Концепция быстрой поляриметрии

Кондратенко А.М., Шиманский С.С. (семинар ОИЯИ 25.02.2016)

**“Новые возможности для высокоточных поляризационных экспериментов на коллайдере NICA: система спин-флипа и быстрая относительная поляриметрия”**

$$\vec{n} = \vec{n}(B_{z1}, B_{z2}), \quad \nu = \nu(B_{z1}, B_{z2})$$

**Можно взглянуть иначе на вопросы, связанные с поляризацией пучка**

1. Необходимо *во время работы коллайдера обеспечить стабильность поляризации*
2. Для *измерения степени поляризации* достаточно знать лишь направление *n*-оси, «измерение» направления которой *сводится к измерению магнитных полей*.

**Появляется уникальная возможность быстрой поляриметрии пучка в режиме спиновой прозрачности коллайдера NICA.**

# Работа на NICA со спин-флипперами

Новые режимы заполнения колец (все банчи с одной поляризацией в обоих кольцах) и работы (поочерёдное включение спин-флипперов в кольцах):

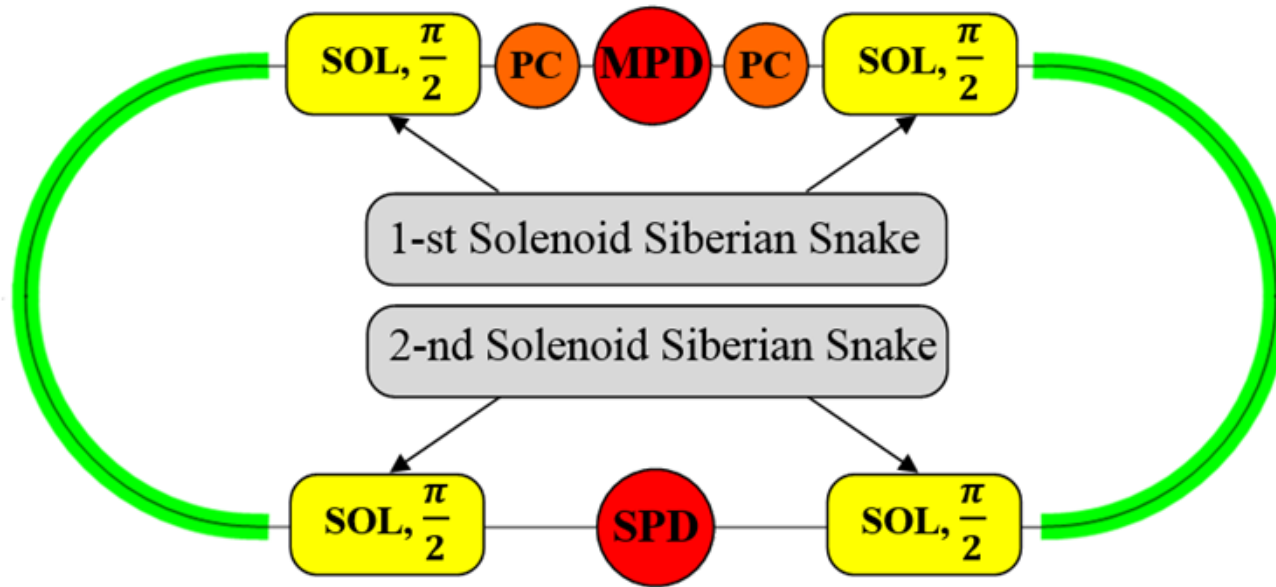
1-е кольцо	+++...	xxx	---...	----	---...	xxx	+++	----	+++...
2-е кольцо	+++...	----	+++...	xxx	---...	----	---	xxx	+++...
	(+ +)		(- +)		(- -)		(+ -)		(+ +)

|xxx| — ротатор включён, нет набора данных

|----| — ротатор не включён, нет набора данных

- Нет проблемы измерения межбанчивой светимости,
- нет проблемы с разной поляризацией в разных модах при работе источника!

# Available Spin Modes at the NICA Collider with solenoidal snakes

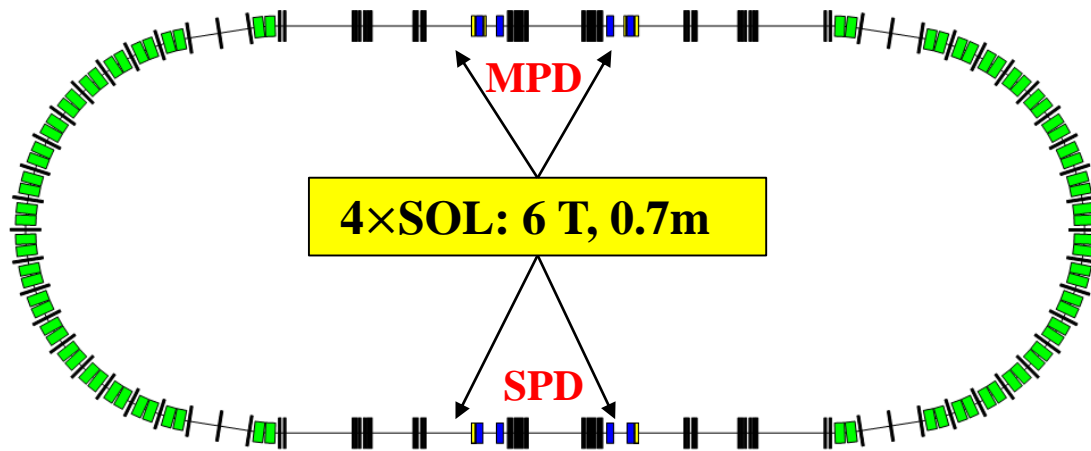


Spin Mode	Snakes		Spin tune, $\nu$	Polarization at SPD	Polarization at MPD	Spin Flipping
	SPD	MPD				
W/O Snakes	<b>OFF</b>	<b>OFF</b>	$\gamma G$	Vertical	Vertical	—
With One Snake (Preferred Spin)	<b>ON</b>	<b>OFF</b>	$\frac{1}{2}$	$\Psi_{SPD} = \gamma G \pi$	Longitudinal	—
	<b>OFF</b>	<b>ON</b>	$\frac{1}{2}$	Longitudinal	$\Psi_{MPD} = \gamma G \pi$	—
Spin Transparency	<b>ON</b>	<b>ON</b>	0	Any direction	Any direction	+

# Summary

- Режим спиновой прозрачности в коллайдере NICA открывает уникальные возможности
  - манипулировать поляризацией любого сорта частиц ( $p$ ,  $d$ ,  ${}^3\text{He}$ , ...) в любом месте орбиты не изменяя орбитальные характеристики пучка, в том числе обеспечивать продольную и вертикальную поляризацию пучка в MPD и SPD детекторах
  - быстро измерять поляризацию пучка во время проведения эксперимента (быстрая поляриметрия)
  - реализовать систему спин-флипа для проведения экспериментов с поляризованными пучками на новом уровне точности

# Ongoing plan on the Ion Polarization in the NICA Collider

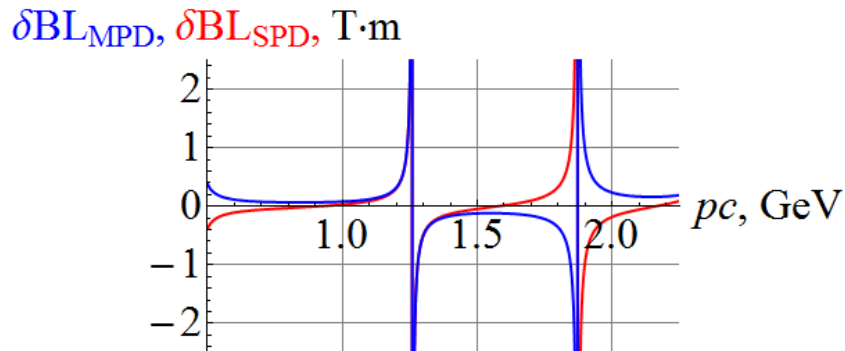


*p* up to 2.25 GeV/c  
*d* up to 0.69 GeV/c

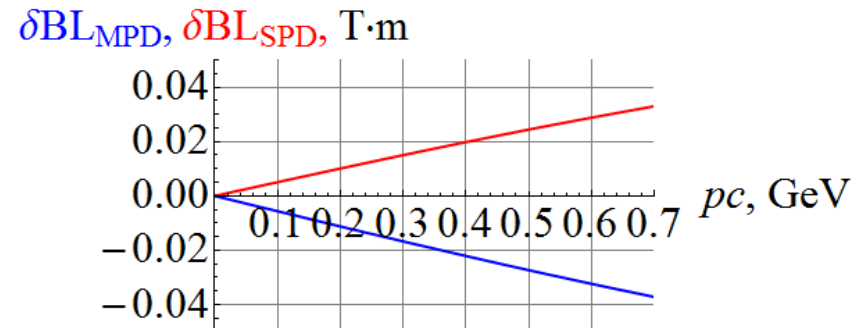
Longitudinal polarization **at SPN (MPN) detector**  $\delta BL < 0.15 T \cdot m$

Vertical polarization **at SPN (MPN) detector**

Protons:  $\nu = 10^{-2}$ ,  $n_y = 1$



Deuterons:  $\nu = 10^{-3}$ ,  $n_y = 1$



# Ongoing plan

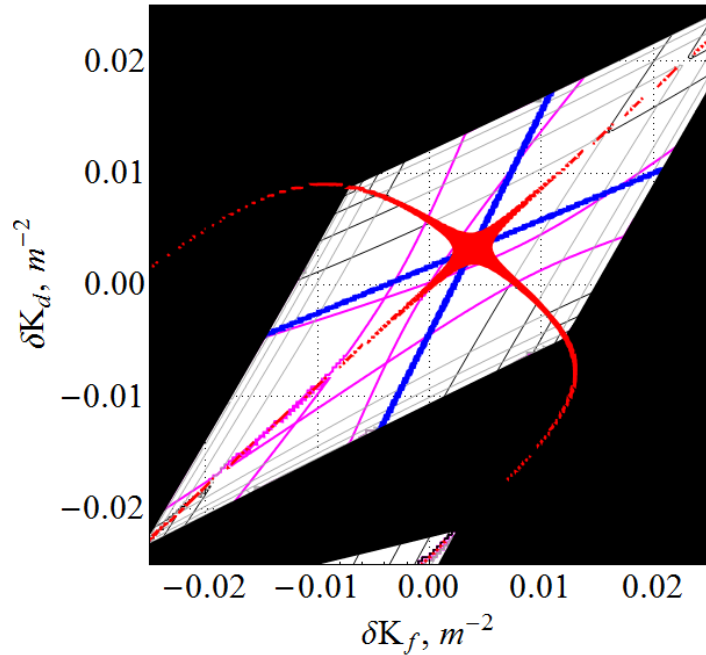
- Введение на первом этапе работ 4-х соленоидов (каждый  $6\text{T} \times 0.7\text{m}$ ) в структуру коллайдера и одного такого же соленоида в канал инжекции коллайдера позволит
  - провести экспериментальную верификацию управления поляризацией протонов и дейтронов в режиме спиновой прозрачности
  - экспериментально изучить время жизни поляризованного пучка в коллайдере NICA без змеек, с одной змейкой и в режиме спиновой прозрачности
  - провести тестирование системы спин-флипа



**Thank you for your attention!**

# $\beta$ -functions in the NICA collider without snakes

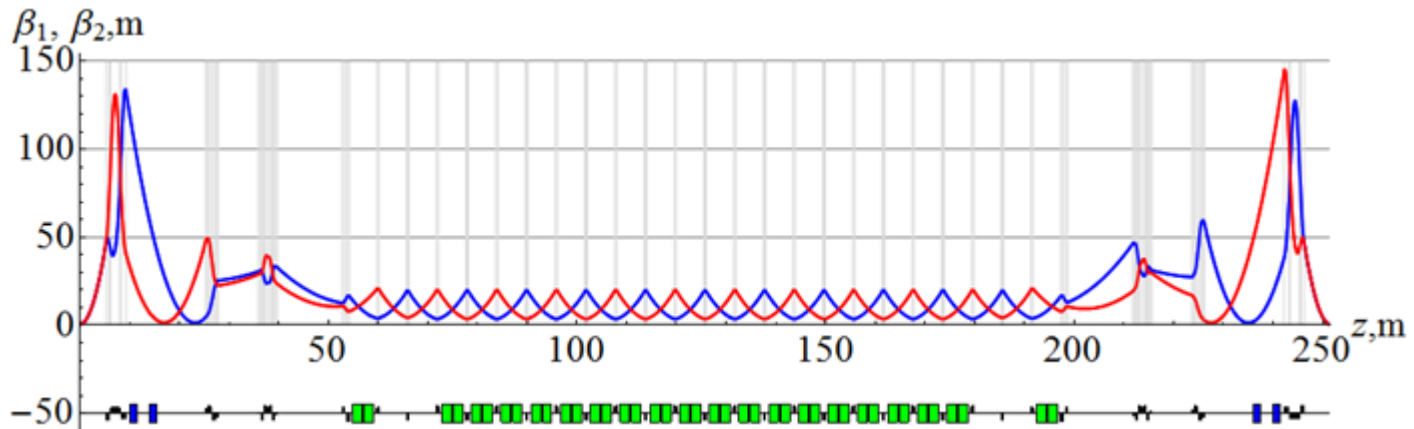
Empty:  $\beta_{1,2}, m$



## Diagram of Betatron Motion Stability

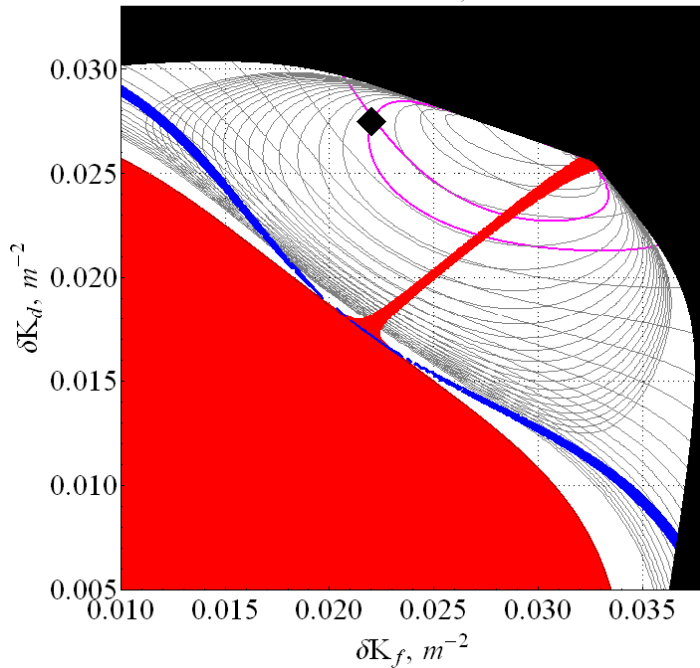
- is a stable motion
- are unstable motion
- integer resonances*  $\nu_{1,2}=k$
- half-integer resonances*  $\nu_{1,2}=k+1/2$
- coupling resonances*  $\nu_1=k \pm \nu_2$

Magenta curves correspond to  $\beta_{1,2} = 0.6 m$



# $\beta$ -functions in the NICA collider with snakes (protons)

Protons:  $\beta_{1,2}, m$



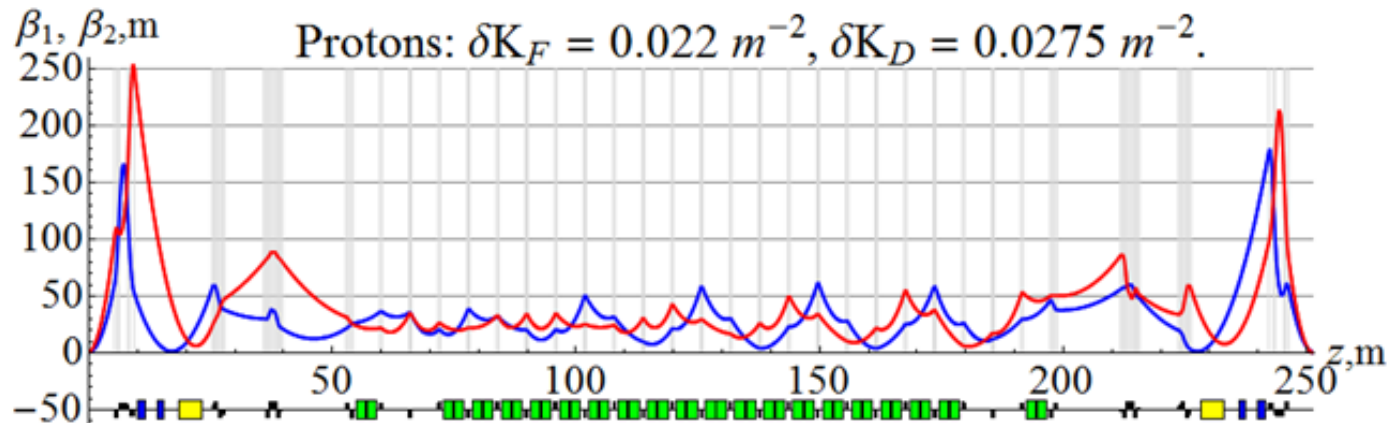
## Case of the Localized Snake Solenoids

Magenta curves correspond to  $\beta_{1,2} = 0.6 m$

◆ Dimond corresponds to the point  
 $(\delta K_F = 0.022, \delta K_D = 0.0275)$

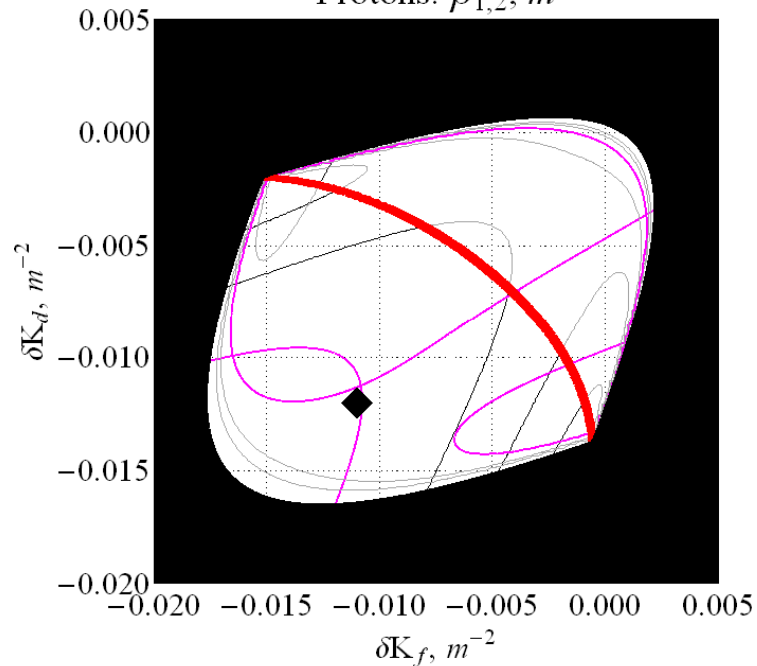
with  $\beta$ -function values of

$$\beta_1 = 0.6 m, \quad \beta_2 = 0.6 m.$$



# $\beta$ -functions in the NICA collider with snakes (protons)

Protons:  $\beta_{1,2}, m$



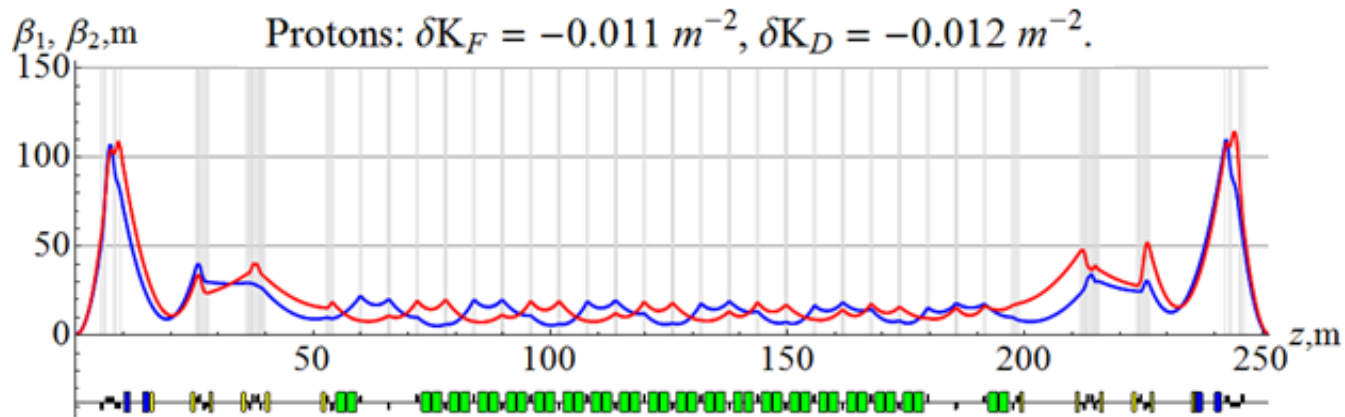
## Case of the Distributed Snake Solenoids

Magenta curves correspond to  $\beta_{1,2} = 0.6 m$

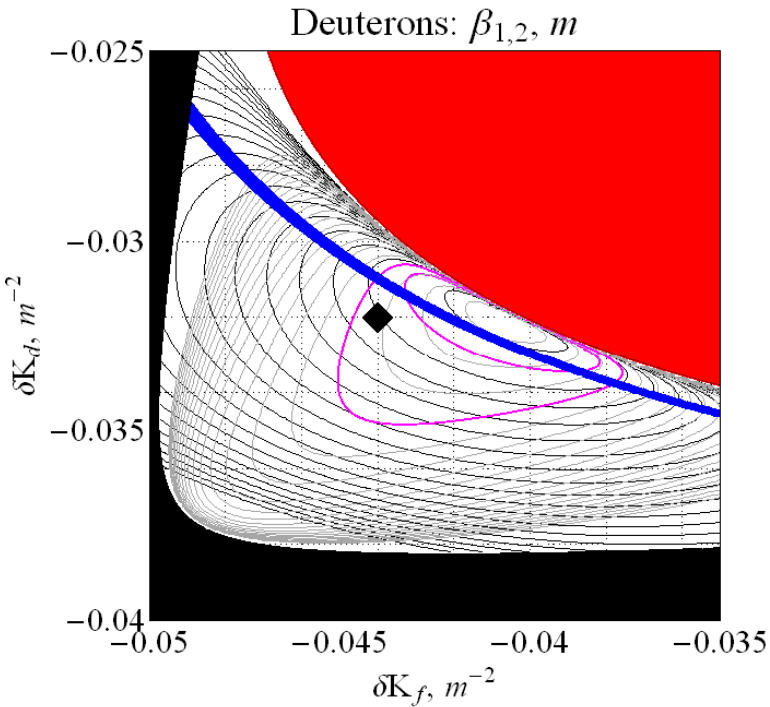
◆ Dimond corresponds to the point  
 $(\delta K_F = -0.011, \delta K_D = -0.012)$

with  $\beta$ -function values of

$$\beta_1 \approx 0.6 m, \quad \beta_2 \approx 0.6 m.$$



# $\beta$ -functions in the NICA collider with snakes (deuterons)



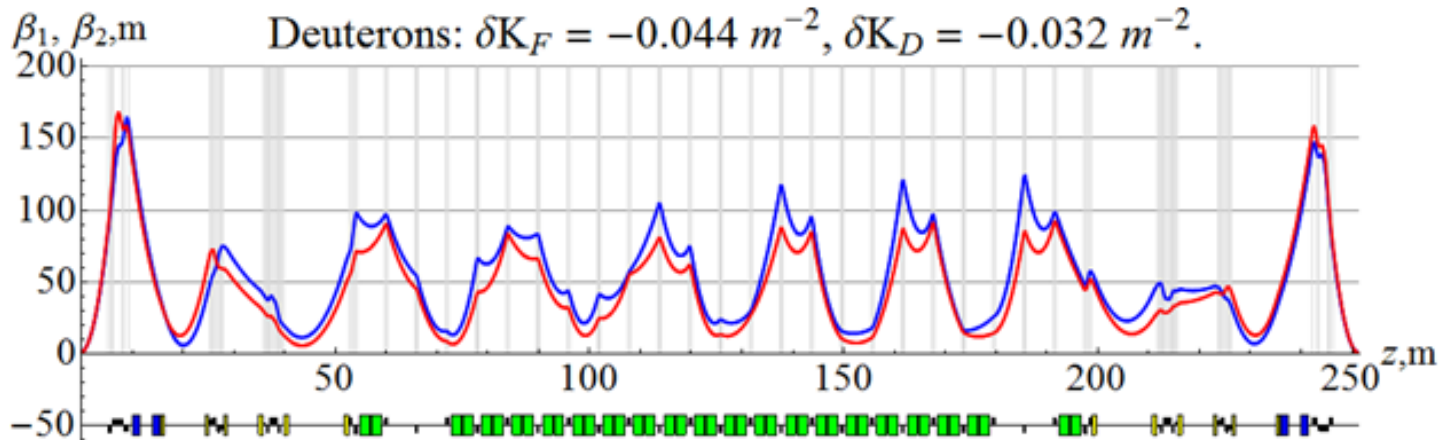
## Case of the Distributed Snake Solenoids

Magenta curves correspond to  $\beta_{1,2} = 0.6 m$

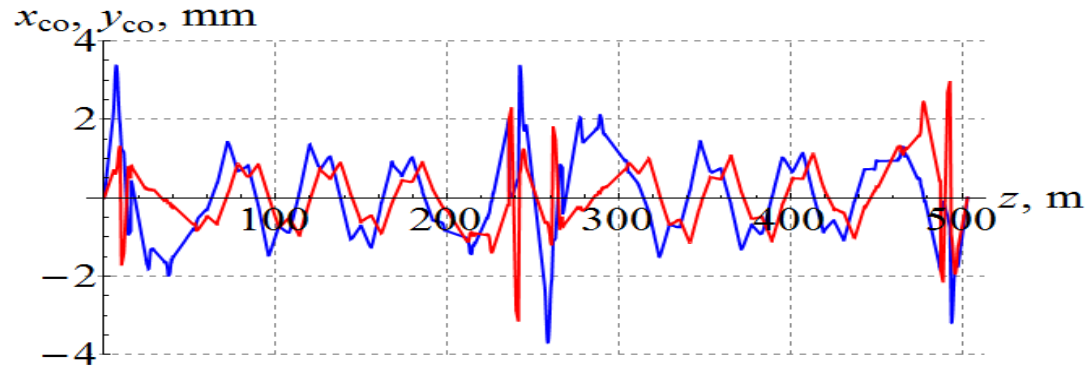
◆ Dimond corresponds to the point  
 $(\delta K_F = -0.044, \delta K_D = -0.032)$

with  $\beta$ -function values of

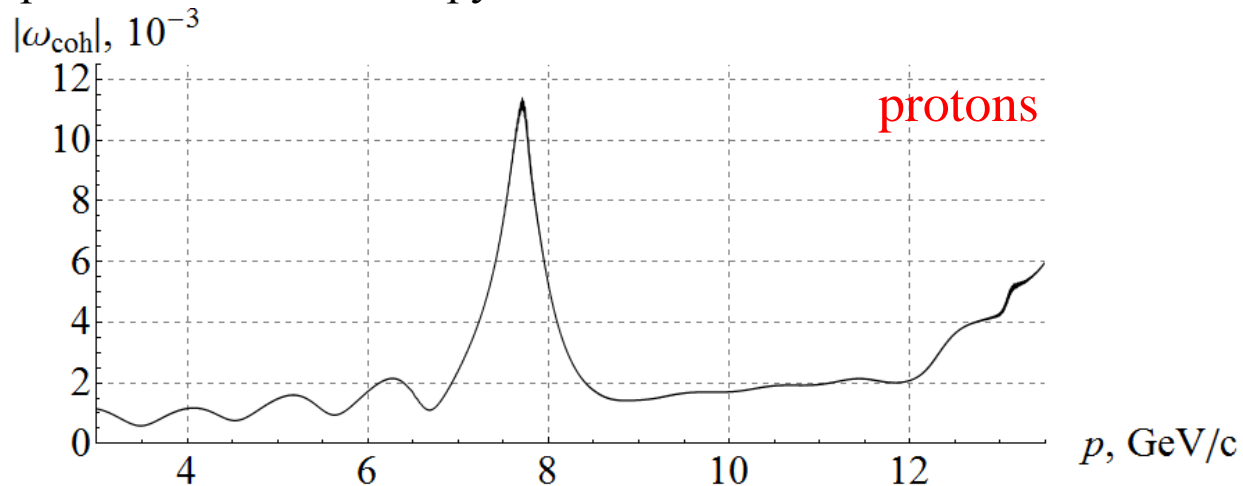
$$\beta_1 \approx 0.5 m, \quad \beta_2 \approx 0.7 m.$$



# Coherent Part of the Spin Resonance Strength

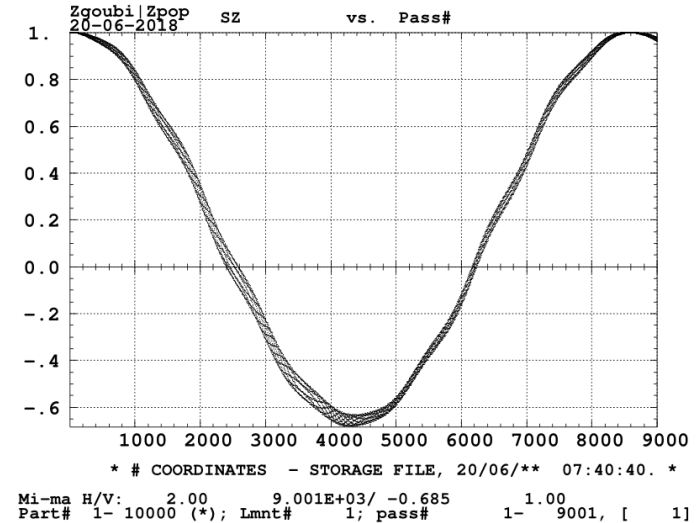
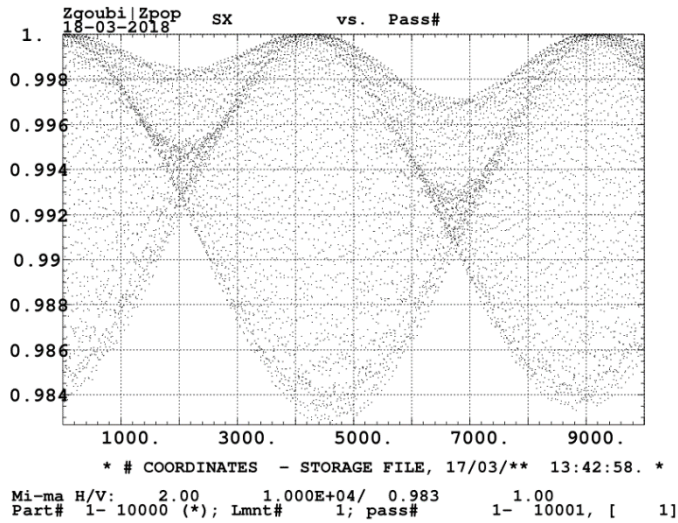


Искажение замкнутой орбиты при случайных сдвигах квадруполей.  
Среднеквадратичный сдвиг квадруполей 25 мкм



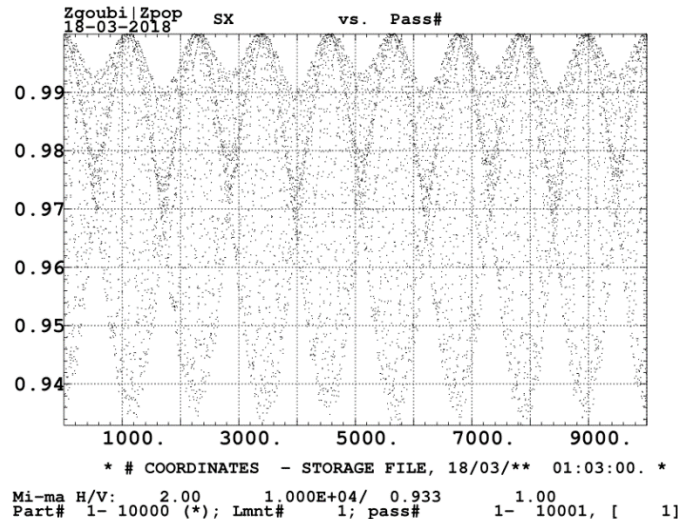
Вывод: Для управления поляризаций протонов достаточно использовать слабые соленоиды каждый с интегралом поля 0.6 T m ( $\nu = 10^{-2}$ )

# Incoherent Part of the Spin Resonance Strength



protons

Частица запущена с нормализованными эмиттантами 5 mm mrad.  $\Rightarrow \omega_{emitt} \approx 10^{-4}$



Расчет некогерентной части мощности резонанса. Частица запущена с удвоенными размерами в месте встречи. Полученное значение  $\omega_{emitt}$  в 4 раза больше  $\Rightarrow \omega_{emitt} \propto \varepsilon$

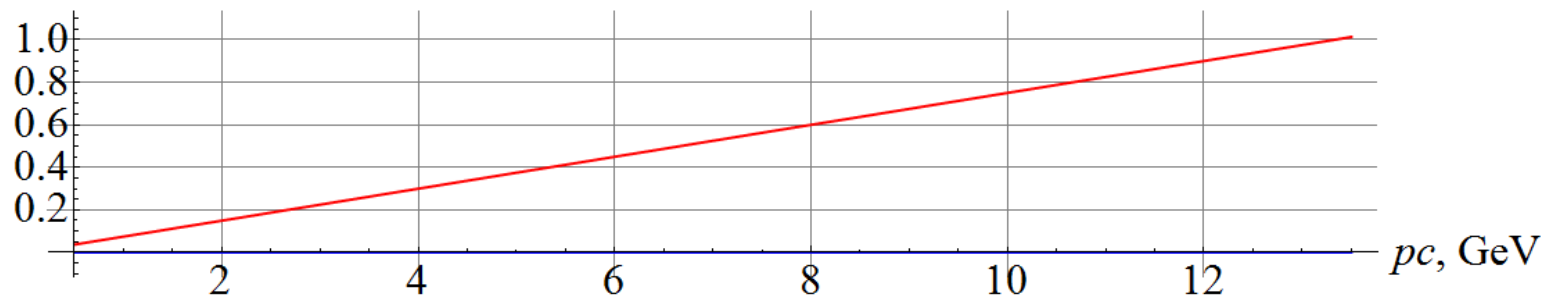
$$\omega_{emitt} \ll \omega_{coh}$$

# Control of the **proton** polarization by the snake solenoids

**Longitudinal polarization at SPD detector**  $\delta\varphi_{MPD} = 0$ ,  $\delta\varphi_{SPD} = 2\pi\nu$ .

Protons:  $\nu = 10^{-2}$ ,  $n_z = 1$

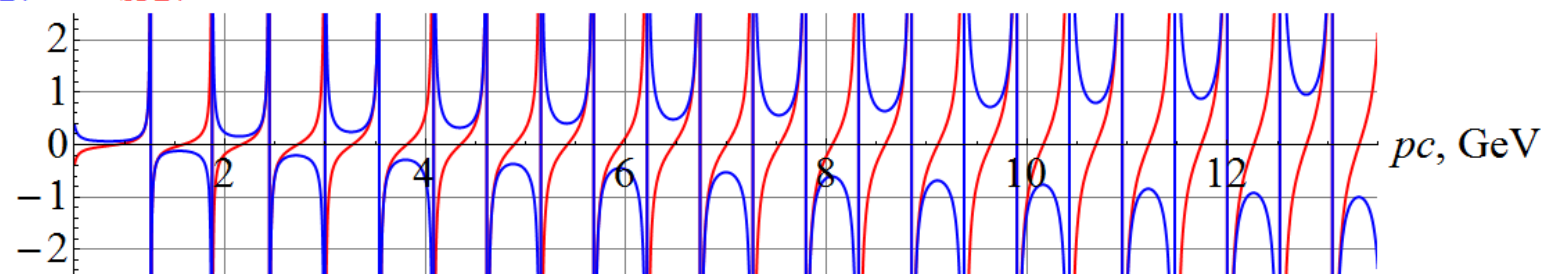
$\delta BL_{MPD}, \delta BL_{SPD}$ , T·m



**Vertical polarization at SPD detector**  $\delta\varphi_{MPD} = \frac{2\pi\nu}{\sin \gamma G\pi}$ ,  $\delta\varphi_{SPD} = -\frac{2\pi\nu}{\tan \gamma G\pi}$ .

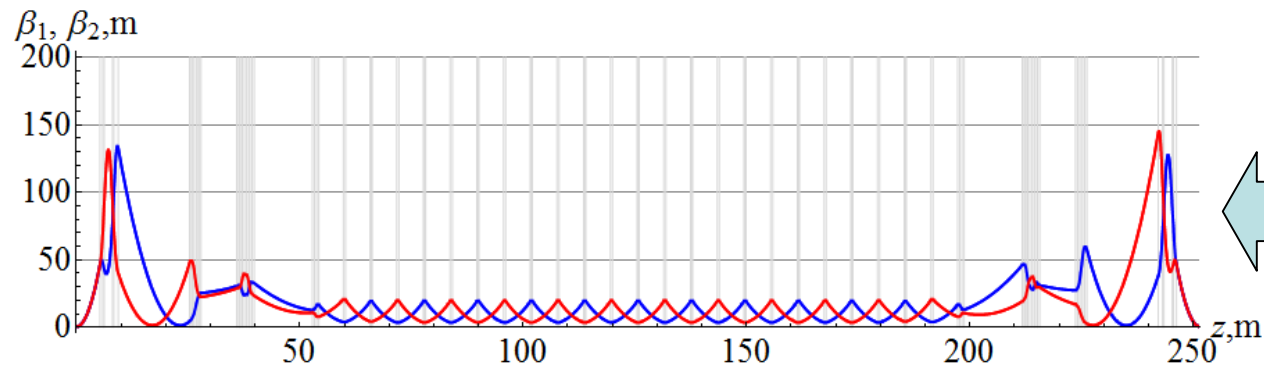
Protons:  $\nu = 10^{-2}$ ,  $n_y = 1$

$\delta BL_{MPD}, \delta BL_{SPD}$ , T·m



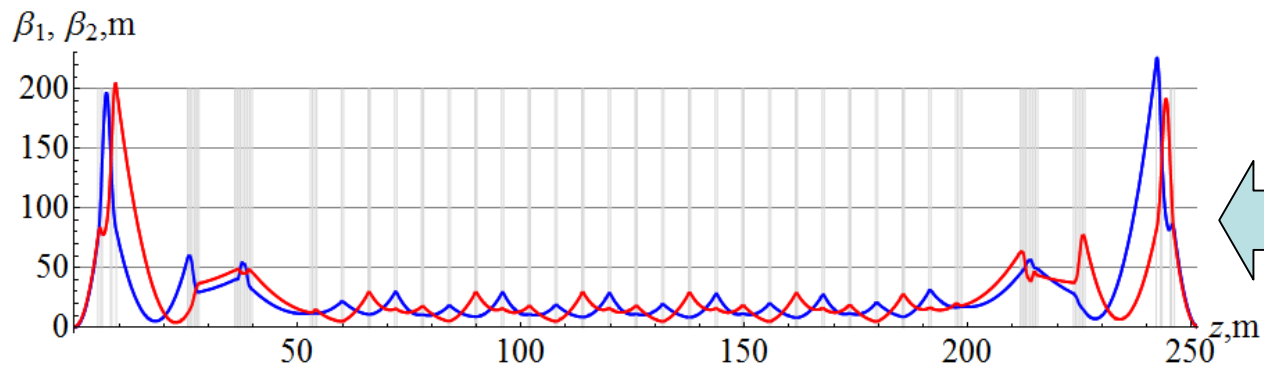


# $\beta$ - functions in the NICA collider



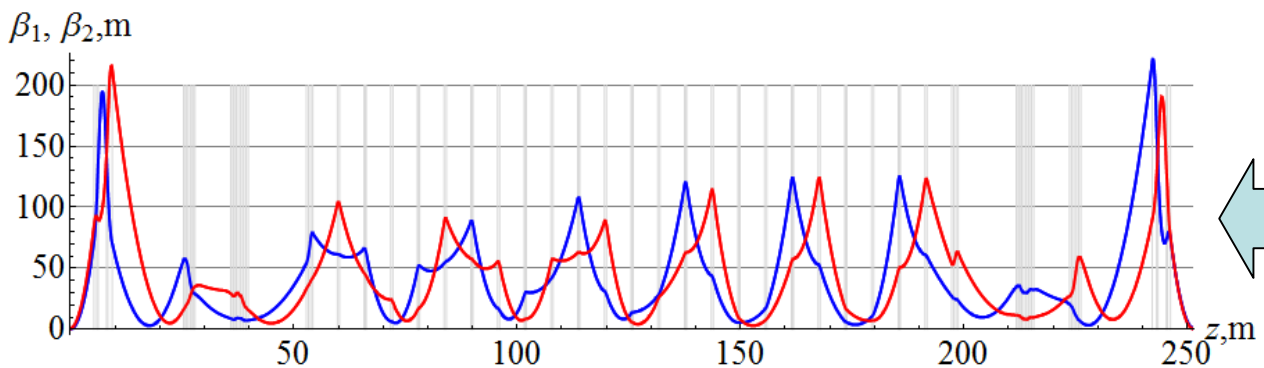
without  
Siberian Snakes

$\delta K_F, \text{m}^{-2}$	$\delta K_D, \text{m}^{-2}$	$K_S, \text{m}^{-1}$
0	0	0



with Siberian Snakes  
for **Proton** Beam

$\delta K_F, \text{m}^{-2}$	$\delta K_D, \text{m}^{-2}$	$K_S, \text{m}^{-1}$
0.0064	0.0045	0.117

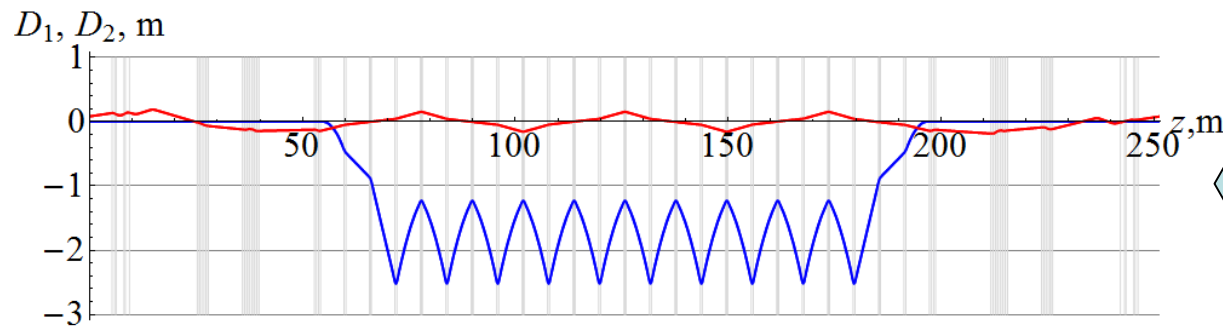


with Siberian Snakes  
for **Deuteron** Beam

$\delta K_F, \text{m}^{-2}$	$\delta K_D, \text{m}^{-2}$	$K_S, \text{m}^{-1}$
-0.0365	-0.0287	0.382

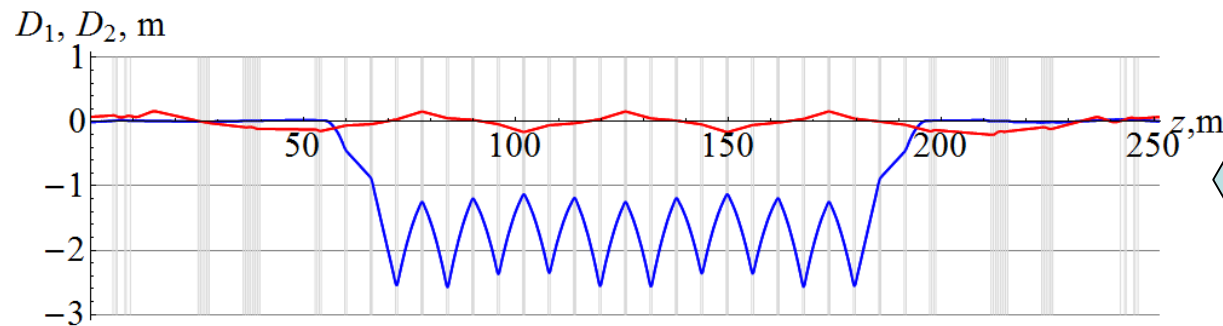


# Dispersion functions in the NICA collider



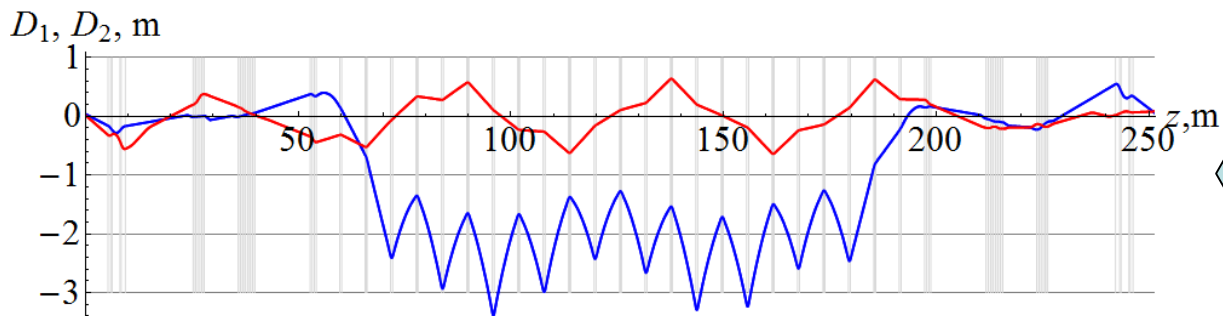
without  
Siberian Snakes

$\delta K_F, \text{ m}^{-2}$	$\delta K_D, \text{ m}^{-2}$	$K_S, \text{ m}^{-1}$
0	0	0



with Siberian Snakes  
for **Proton Beam**

$\delta K_F, \text{ m}^{-2}$	$\delta K_D, \text{ m}^{-2}$	$K_S, \text{ m}^{-1}$
0.0064	0.0045	0.117



with Siberian Snakes  
for **Deuteron Beam**

$\delta K_F, \text{ m}^{-2}$	$\delta K_D, \text{ m}^{-2}$	$K_S, \text{ m}^{-1}$
- 0.0365	-0.0287	0.382



# Optical Parameters at the Interaction Point

Mode	$\beta_1^*$ , cm	$\beta_2^*$ , cm	$D_1^*$ , cm	$D_2^*$ , cm
Without Snakes	60	60	0	8.4
Proton's Snakes	60	60	-0.6	7.5
Deuteron's Snakes	60	60	3.8	1.6

$\beta_1^*, \beta_2^*$  are  $\beta$ -functions at IP

$D_1^*, D_2^*$  are dispersion functions at IP

The presented example of matching snake solenoids in the NICA collider lattice demonstrate feasibility of spin transparency mode in NICA. Further optimization of orbital parameters are required.

# Схема управления поляризацией в коллайдере NICA

